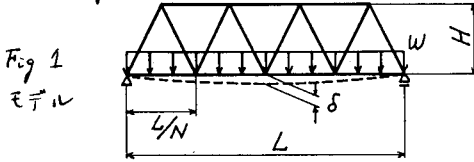


1. はじめに

トラス部材のサブ最適化による部材の弱軸回りの断面2次元モーメント I_0 と断面積 A_0 が $I_0 = \alpha A_0^2$ (α は定数)と得られる時、設計は無次元化が可能である。本考察は、平行弦ワーレントラスの最小重量設計を無次元化し、より一般性のある解を求め、2,3の考察を行うものである。

2. 最適問題の無次元化

モデルはFig 1に示す平行弦ワーレントラスである。



ここで L : スパン H : 構高 w : 等分布荷重
 δ : たわみ N : 格間数

非無次元化の最適問題は次の制約条件

- a) 許容応力関係 $\sigma_{ca} < \sigma_i < \sigma_{ta}$ (1)
- b) 細長比関係 $\lambda_i < \lambda_{max}$ (2)
- c) たわみ関係 $\delta < \delta_{max}$ (3)

のもとで目的関数 $V = \sum A_i l_i \rightarrow \min$. (4)

とするものである。今、次のパラメータ

$$\bar{w} = w/L, \bar{F}_i = F_i/L^2, \bar{A}_i = A_i/L^2 \quad (5)$$

を用いると各状態変数は次のように表わされる。

- a) 軸力 F_i $\bar{F}_i = \bar{w} \cdot f_i(N, H/L)$ (6)
- b) 部材長さ l_i $l_i/L = g_i(N, H/L)$ (7)
- c) 細長比 λ_i $\lambda_i = g_i(N, H/L) / \sqrt{\alpha \cdot \bar{A}_i}$ (8)
- d) 応力 σ_i $\sigma_i = \bar{F}_i / \bar{A}_i$ (9)
- e) たわみ δ $\delta/L = \sum_{i=1}^{N-1} e_i(N, H/L) \cdot g_i(N, H/L) \cdot \sigma_i/E$ (10)

さらに制約条件式(1)は次のようになる

- $\sigma_{ca} / \sigma_{ta} < \sigma_i / \sigma_{ta} < 1$ (11)
- $\lambda_i < \lambda_{max}$ (12)
- $\delta/L < \delta_{max}/L$ (13)

となり、目的関数 V は(4)を無次元化パラメータを用いて

$$\bar{V} = V/L^3 = \sum_{i=1}^{N-1} \{ \bar{A}_i \cdot g_i(N, H/L) \} \quad (14)$$

となる。

ここで e_i, g_i, f_i は格間数 N と構高-スパン比 H/L の関数であり、 E は部材の縦率である。

このように変換すると(6)~(10)および(11)~(13)から状態変数、制約条件はそれぞれ $\bar{w}, N, H/L, \bar{A}_i, \alpha$ の関数で表現され、この最適化問題は \bar{w}, α, N を固定し目的関数(14)を最小とする設計変数 $\bar{A}_i, H/L$ を解く問題と考えることができる。

3. 計算手法について

計算は(11)~(13)の制約条件 n 設計変数の移動幅の制限 (move limit) の条件を加工逐次解法 (SLP) により行われる。

しかし、設計変数の中で、 \bar{w} も初期値と最適値が大きく異なる時には、move limit の条件を変更量が規制されているため、無意味な試行を繰り返す。そこで本計算ではFig 2に示すように、任意の初期値を与えると、この初期値を基礎として構造解析をし、これにより得られる許容応力不足する部材を全応力 (Fully stress) とし、 \bar{A}_i を求めこれを改良初期値として計算した。

4. 計算結果および考察

Fig 3に計算モデルを示す。使用鋼材はSS41

とし、制約条件(11)~(13)は道路橋示方書による。

また、 $I_0 = \alpha A_0^2$ における α は参考文献1)等より $\alpha = 1.5625$ ($A_0 = 0.8 I_0^{1/2}$) としていた。

$\bar{w} = 1 \text{ kg/cm}^2$ の時の設計変数および目的関数の収束状況をFig 4(a)に示す。 \bar{V} は3回目の試行からはほぼ一定値をとるものの H/L は試行回数4回目より振動し始

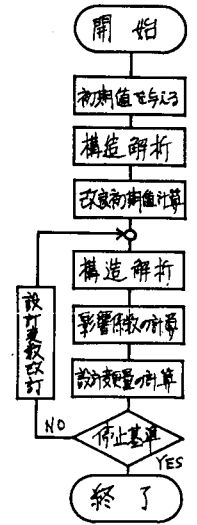


Fig 2 設計流小図

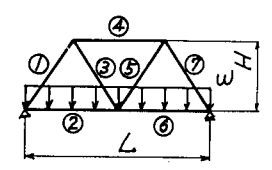


Fig 3 計算モデル

める。同様に \bar{A}_1 もわずかに振動しており、これを静めるため10回目からは *move limit* を徐々に狭くしている。これに対し Fig 4 (b) の H/L を Fig 4 (a) で得られた最適値 $H/L = 0.409$ とし設計変数に \bar{A}_1 だけをとって、 λ の収束状況を描いたものである。Fig 4 (a) に比べ非常に収束が早いことがわかる。これは、 H/L は他の設計変数 \bar{A}_i に影響を与えずに、 \bar{A}_i はたわみ制約を除き、他に影響を与えないことによるものと思われる。

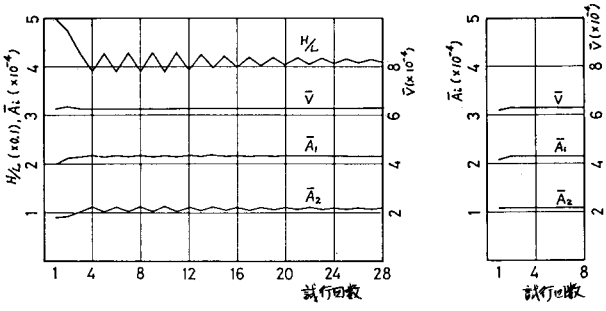


Fig 4 設計変数および目的関数の収束状況 ($\bar{w}=1\text{kg/cm}^2$)

Fig 5 は H/L により \bar{V} がどのように変化するかを調べたものである。Fig 4 と比較するとわずかに $H/L = 0.409$ で $\bar{V} = 0.000632$ となり、Fig 4 の解が全域的最適解であることがわかる。

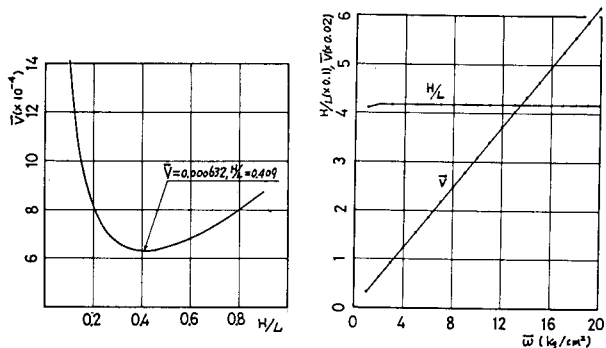


Fig 5. H/L に沿った \bar{V} の変化 ($\bar{w}=1\text{kg/cm}^2$)

Fig 6 は荷重パラメータ \bar{w} を $1 \sim 20\text{kg/cm}^2$ の範囲で変化させたときの最適 H/L および最小の \bar{V} を描いたものである。 $\bar{w} \geq 2\text{kg/cm}^2$ 以上で H/L は一定値をとり $H/L = 0.433$ である。これは①、②部材のすなわち 60° とはなっていることを示す。

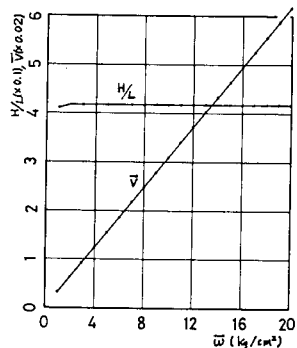


Fig 6. \bar{w} と H/L , \bar{V} の関係

これまでの計算では制約条件の中で全部材が許容応力の制約により決定されており、細長比、たわみに対しては余裕のある設計となっている。

Fig 7. $\bar{w}=0.1 \sim 0.01\text{kg/cm}^2$ の H/L と \bar{V} の関係

$\lambda=2$ で、さらに \bar{w} の小さい値について設計を行った結果、Fig 7 を得た。この図は、 $\bar{w}=0.01 \sim 0.1\text{kg/cm}^2$ の範囲で、 H/L を変化させたが、 λ を最小の最小体積 \bar{V} を求めたものである。図の中で Δ は一部の部材が細長比の制約を受け、他の許容応力の制約により設計されているもので、 \times は全部材が細長比により決定されているものである。このため \times の下側には解が存在せず、例えば $H/L = 0.8$ の時、 $\bar{w} = 0.05\text{kg/cm}^2$ で \times は \bar{w} が以下の荷重でも \bar{V} は変わらない。また \bar{w} が小さくなるに伴って最適 H/L は小さくなることかわかる。

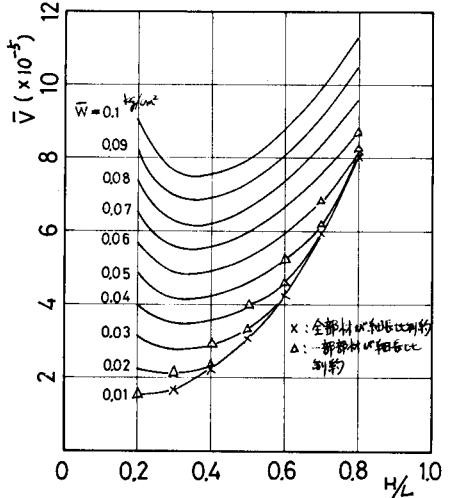


Fig 7 $\bar{w}=0.1 \sim 0.01\text{kg/cm}^2$ の H/L と \bar{V} の関係

5. おわりに

本計算は簡単なトラスを用いた主荷重パラメータと最適 H/L の関係を示したものであるが、今後、通常使用される桁間数について調べたりを考慮している。

計算は東北大学大型計算機センタを利用した。

<参考文献>

- 1) 田中尚, 中村雄治, 建築構造刊の自動設計と最適設計, 培風館